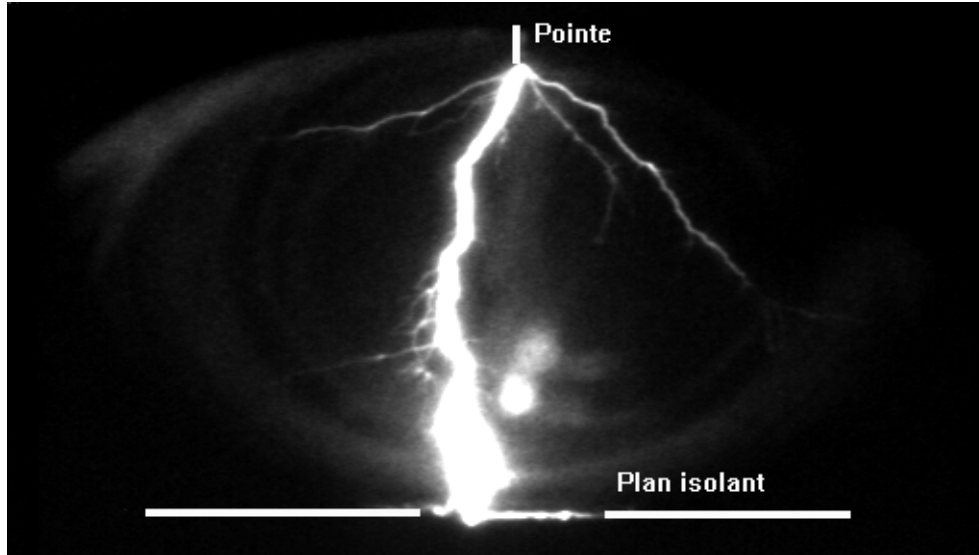




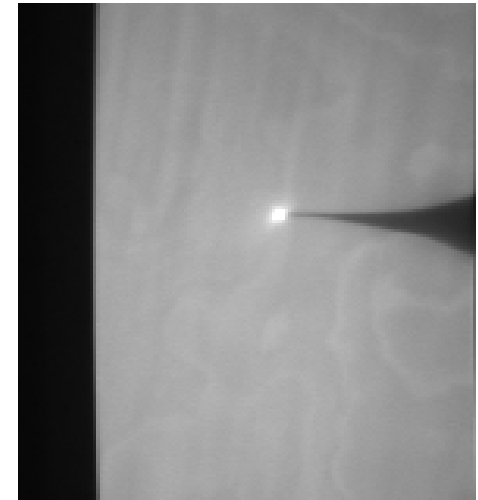
L'apport de la spectroscopie d'émission dans la compréhension des décharges électriques dans les milieux denses.

**N Bonifaci, A Denat, O. Lesaint
Laboratoire d'Electrostatique et de
Matériaux Diélectriques
CNRS et U J F Grenoble FRANCE**

Bref Historique



Streamer dans l'azote liquide

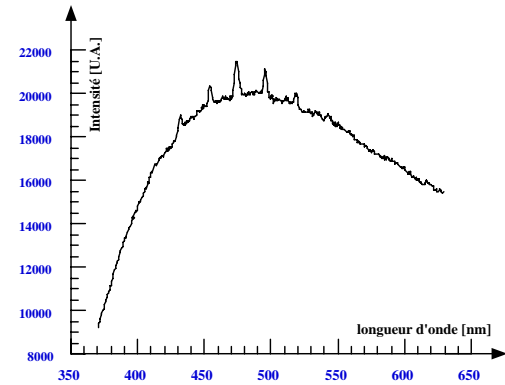


Décharge couronne dans l'argon liquide

Spectroscopie d'émission

- Densité Electronique N_e , Température Electronique T_e
- Température cinétique du gaz T_k
- Densité du gaz N

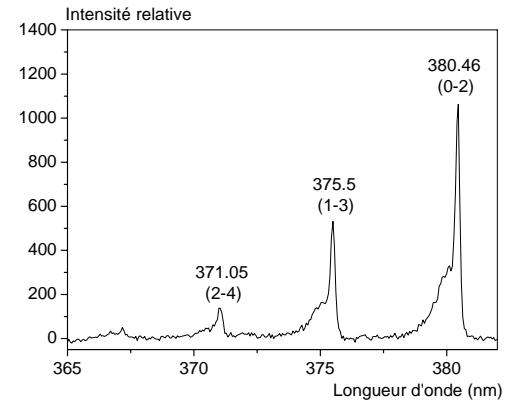
Continuum



Molecular spectra



B. Pearse and A. G. Gaydon The identification of Molecular Spectra Chapman and Hall 1976

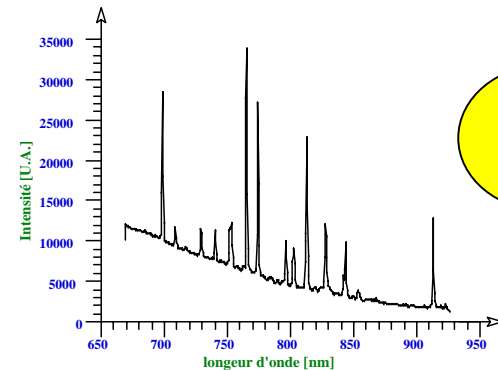


Atomic spectra



A. R. Stringanow and N. S. Sventitskii, Tables of Spectral Lines of Neutral and Ionized Atoms Plenum New York 1968.

Atomic Spectral Line Database <http://cfa-www.harvard.edu/>

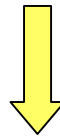


Remarques Préliminaires

Spectre Moléculaire : N₂, OH

→ Température vibrationnelle **T_v**

→ Température Rotationnelle **T_r**

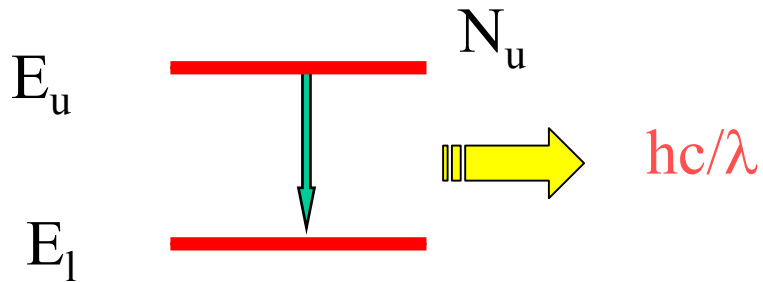


$$I(J', J'') = D \nu_{J' J''}^4 S(J' J'') \exp\left(-\frac{B_v J'(J'+1)hc}{kT_r}\right)$$

T_r ~ Température cinétique des neutres

Méthode de simulation

Spectre atomique

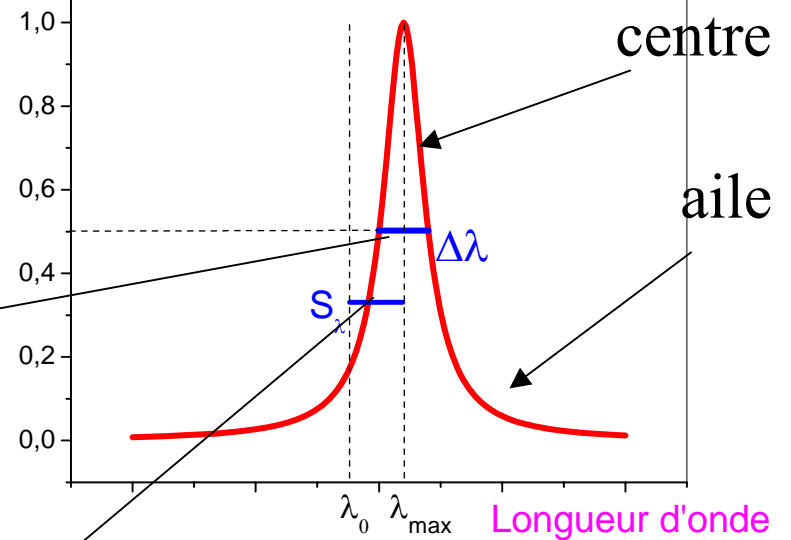


$Pe(\lambda)$

État fondamental _____

Largeur à $1/2$ hauteur FWHM

Intensité relative d'un profil lorentzien



Déplacement

1 Élargissement Naturel

Durée finie des niveaux excités

$$\Delta\lambda_{\text{natural}} \sim 10^{-4} \text{ \AA}$$

2 Élargissement Doppler

Mouvement de l'atome émetteur

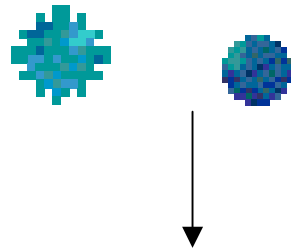
$$\Delta\lambda_D = 2\lambda \sqrt{\frac{2kT \ln 2}{mc^2}}$$

$$10^{-2} \text{ } 10^{-4} \text{ nm}$$

3 Élargissement de Pression

Élargissement de Pression

Interaction d'un atome avec les particules qui l'entourent



Le potentiel d'interaction

$$V = hC_p / r^p$$

Profil de la raie

Théorie classique

Différentes Approximations

Approximation
d'impact

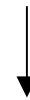
N faible
Centre de la raie



Profil de la raie lorentzien

Approximation quasistatique

N élevée
Ailes de la raie



Profil de la raie?

validité

Terme de densité

$$\rho_w = \left(\frac{\alpha_p C_p}{w} \right)^{1/p-1} = \left(\frac{1}{N_L} \right)^{1/3}$$

$N \ll N_L$ impact

$N \gg N_L$ QS

Terme de fréquence

$$\Delta\lambda_L = \frac{\lambda_{ul}^2}{2\pi c} \frac{w}{\rho_w}$$

$\Delta\lambda \ll 2\Delta\lambda_L$ impact

$\Delta\lambda \gg 2\Delta\lambda_L$ QS

Potentiel d'interaction

- Électrons , ions Effet Stark
- Neutres VderW, Resonant

Effet stark linéaire

$$V(r)=C_2/r^2$$

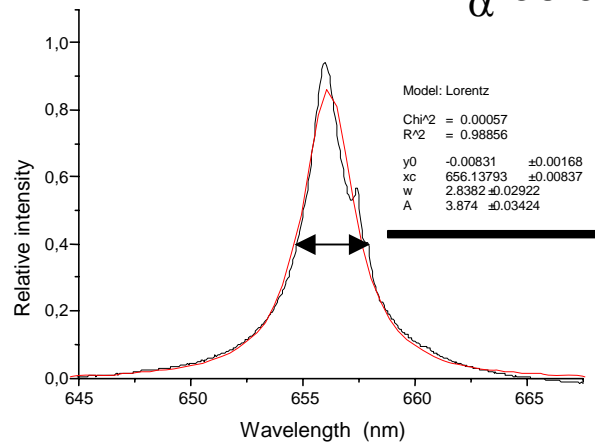
Cas de l'hydrogène atomique

Griem 1964,1974

$$N_e = C(N_e, T_e) * \Delta\lambda^{3/2}$$

Where $C(N_e, T_e)$ is in $A^{-3/2} \text{ cm}^{-3}$.

H_α 656.2 nm



Effet Stark quadratique

$$V^{\text{R}} = C_4/r^4$$

$$\Delta\lambda_{\text{Stark}} = (1 + 1.75\alpha(1 - 0.75r))2\omega$$

$$S_{\lambda}(\text{Stark}) = d \pm 2\alpha(1 - 0.75r)\omega$$

ω proportionnel à **Ne**



H .R. Griem, «Spectral Line Broadening by Plasmas », New York : Academic Press, 1974

α

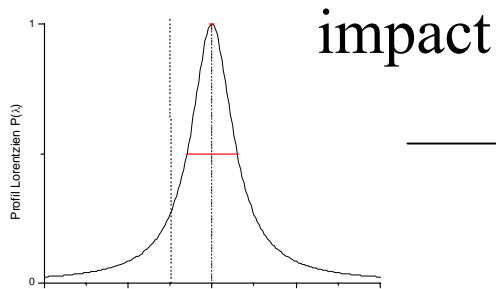
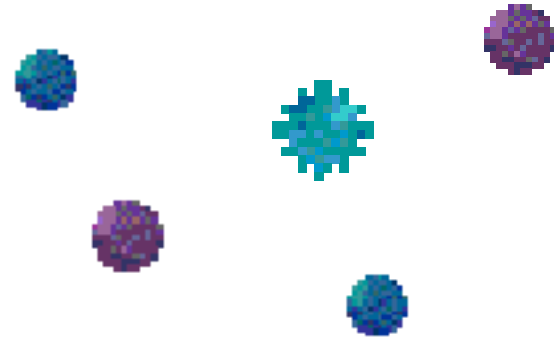


Ne

Potentiel de Van der Waals

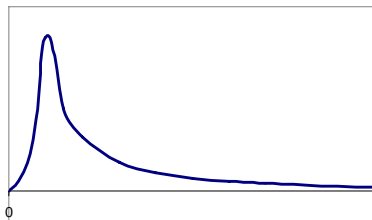
$$V(r) = -C_6/r^6$$

Perturbateurs neutres



$$\Delta\lambda_{\text{vdW}} \propto N$$

N ↗ QS

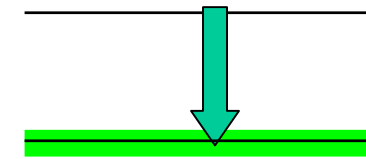


$$\Delta\lambda_{\text{vdW}} \propto N^2$$

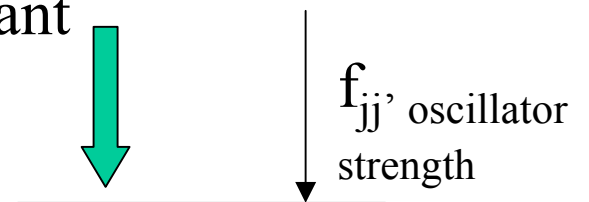
Potentiel de Resonance

$$V_{\text{R}} = \pm C_3/r^3$$

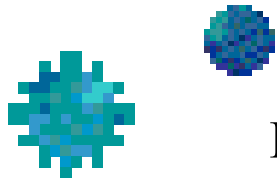
Niveaux excités couplés radiativement avec le fondamental



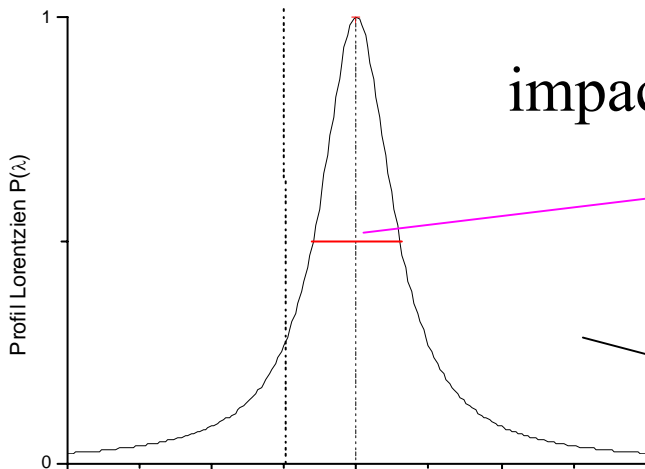
Niveau résonant



Niveau fondamental



Perturbateurs de même nature que l'émetteur

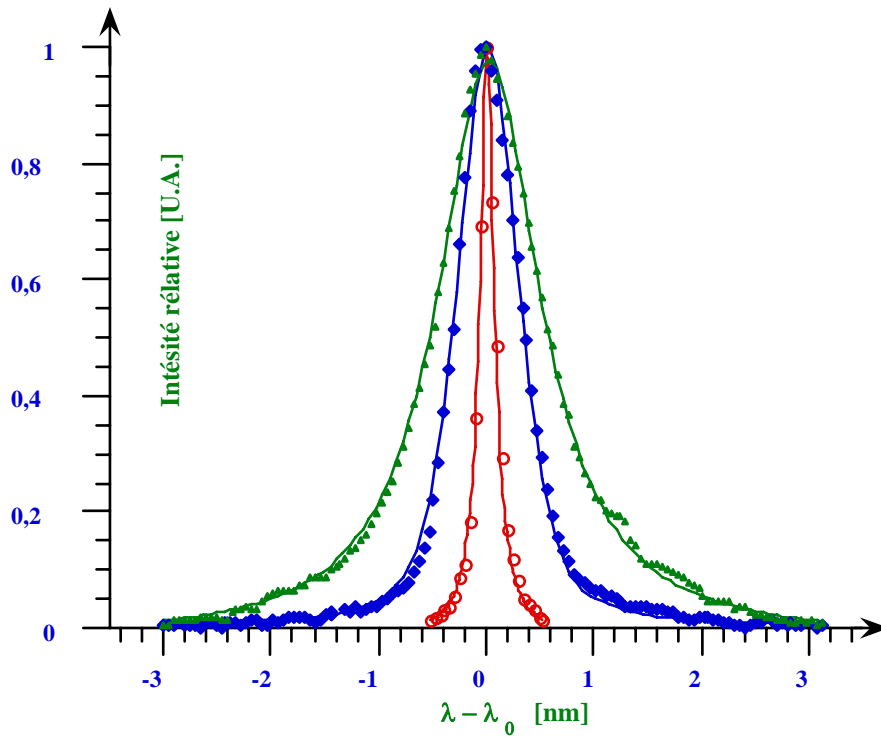


impact

$$\Delta\lambda_{\text{res}} \propto N$$

QS ?

$$\Delta\lambda_{\text{res}} \propto N, \square N \dots$$



→ Stark + Van der Waals + resonant

$$\Delta\lambda = \Delta\lambda_{\text{stark}} + \Delta\lambda_{\text{vdW}} + \Delta\lambda_{\text{res}}$$





Élargissement de pression

Classification Mathématique
Théorie classique
Différentes Approximations

Impact approx

$$N \ll N_L$$

$$\Delta\lambda < \Delta\lambda_L$$

Quasi-static
approx

$$N \gg N_L$$

$$\Delta\lambda > \Delta\lambda_L$$

Classification Physique
Potentiel d'Interaction

Stark

$$N_e$$

Resonant

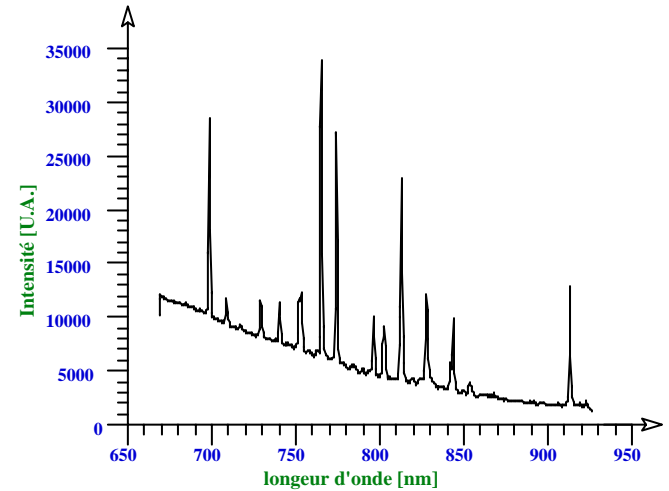
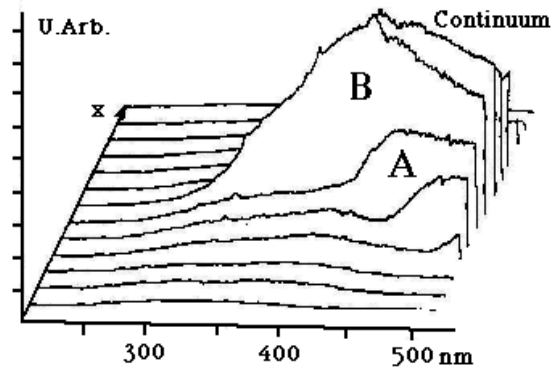
$$N$$

Van der
Waals

$$N$$

Exemples d'Applications

Décharge couronne dans l'argon liquide



Recombinaison



$$N_e \sim 10^{18} \text{ m}^{-3}$$

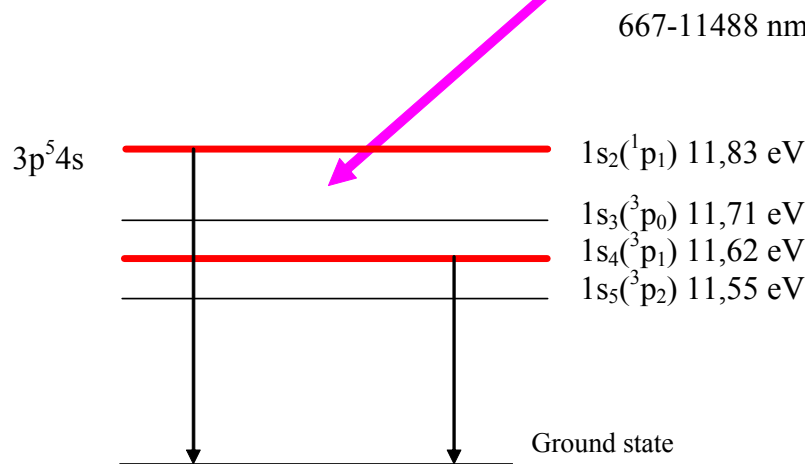


~~Stark~~

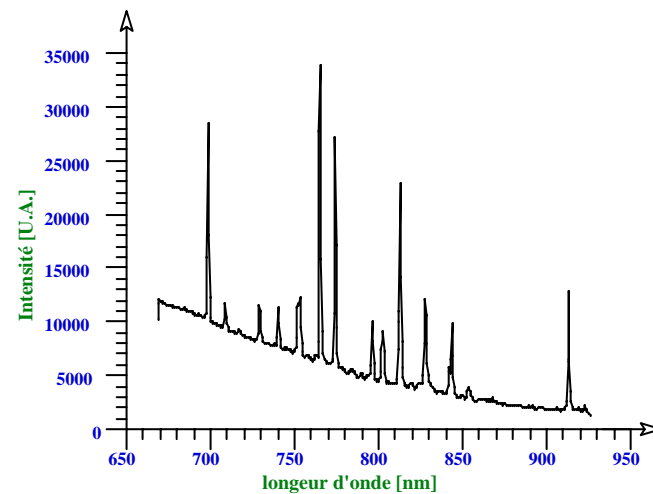
Décharge couronne dans l'argon liquide

Transitions 4p-4s

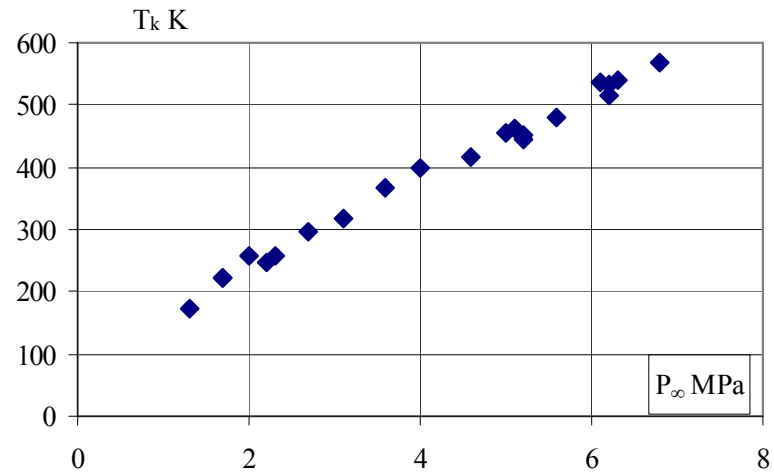
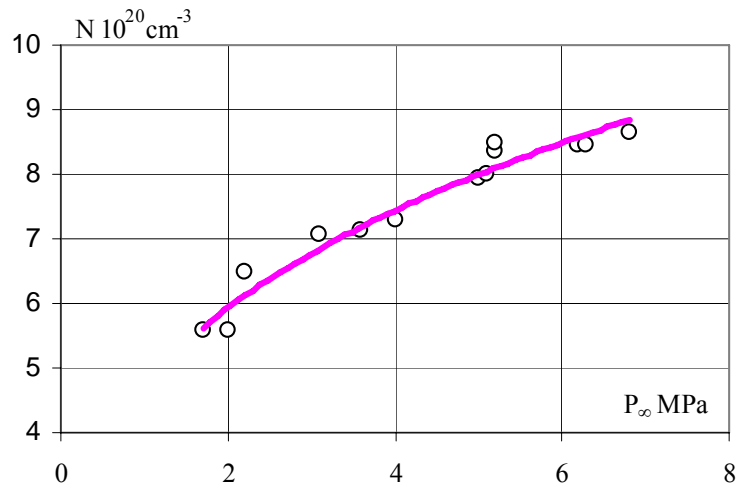
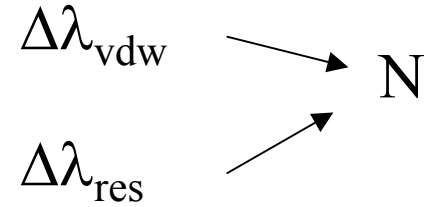
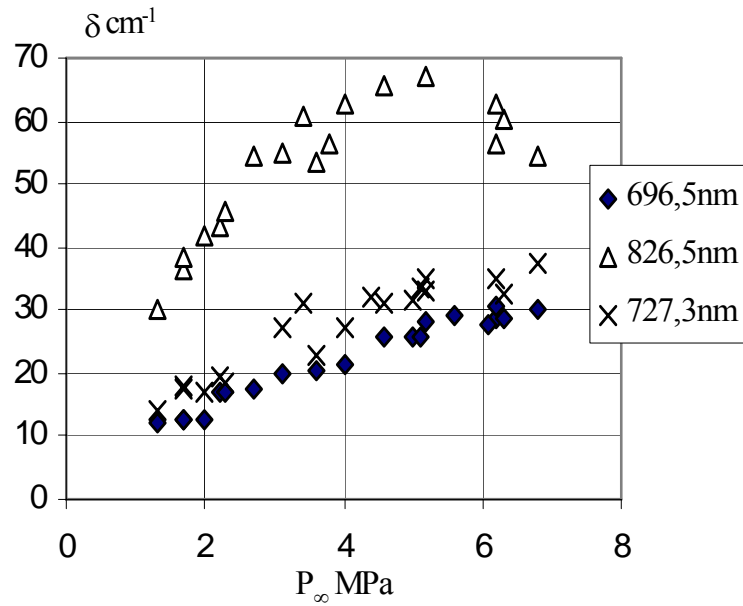
3p⁵4p



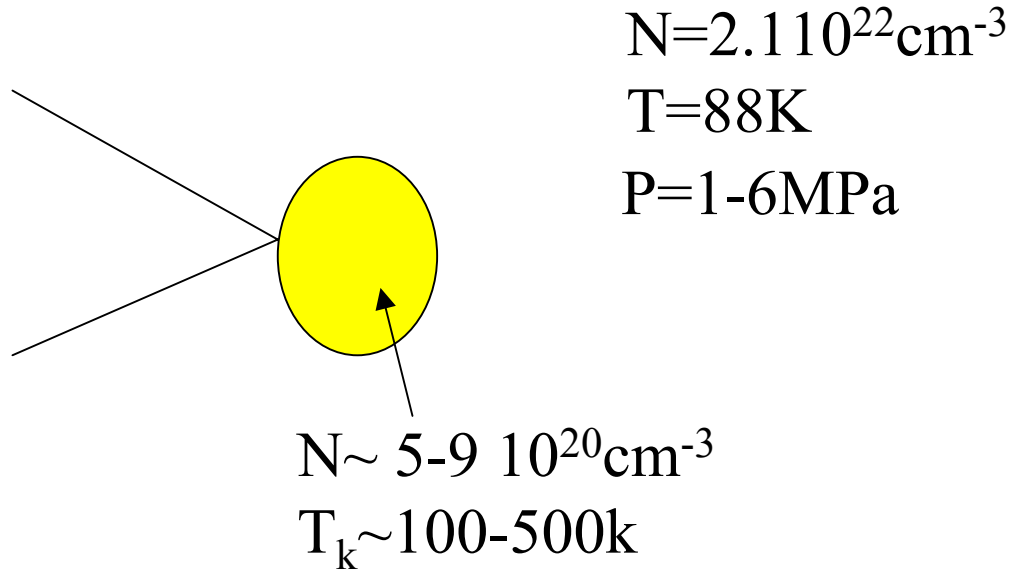
Wavelength λ (nm)	Transition Paschen Notation	Type of interaction
696.5	1s ₅ -2p ₂	van der Waals
727.3	1s ₄ -2p ₂	Resonance plus van der Waals
826.4	1s ₂ -2p ₂	Resonance



Décharge couronne dans l'argon liquide



Décharge couronne dans l'argon liquide

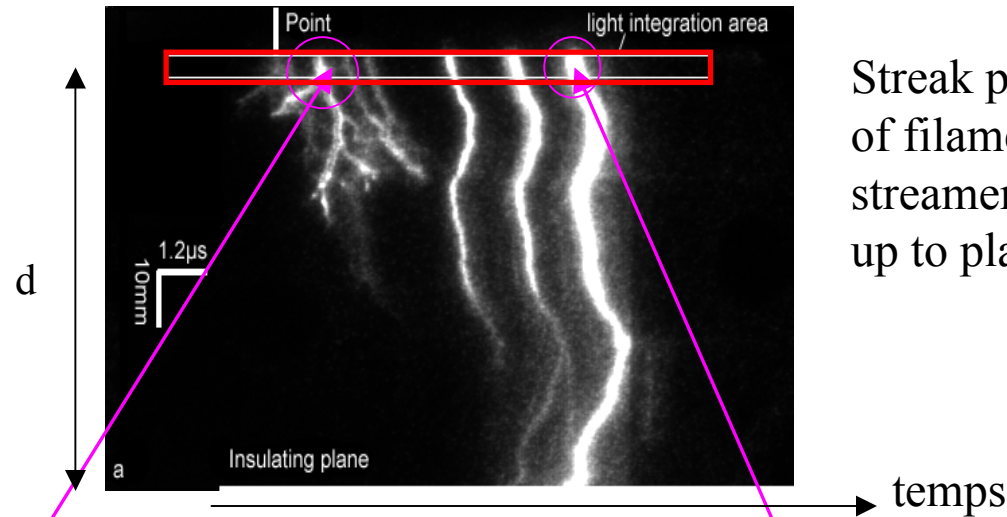


$$N < N_{\text{Lim}}$$

Approximation d'impact

Streamers filamentaires positifs dans l'azote liquide

2 phases distinctes



Streak photograph
of filamentary
streamer propagating
up to plane

La propagation
du streamer

The final jump

Émission de lumière faible

Émission de lumière intense

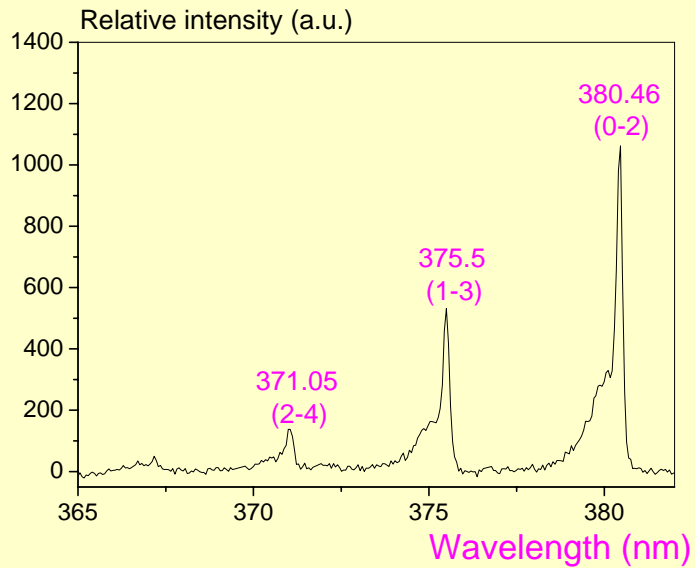
~100 streamers

1 streamer

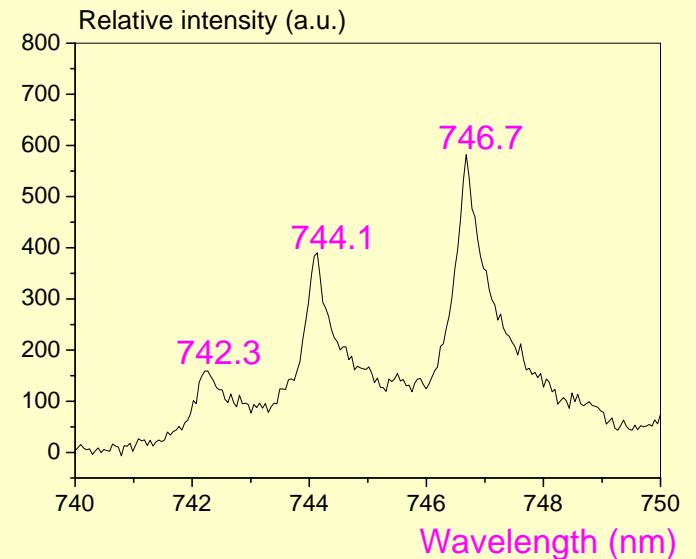
Streamers filamenteux dans l'azote liquide

Propagation

Second positif system of N_2
($C^3\Pi_u \rightarrow B^3\Pi_g$)



Atomic line of NI
($3s^4P-3p^4S^0$ and $3s^4P-3p^4P$)



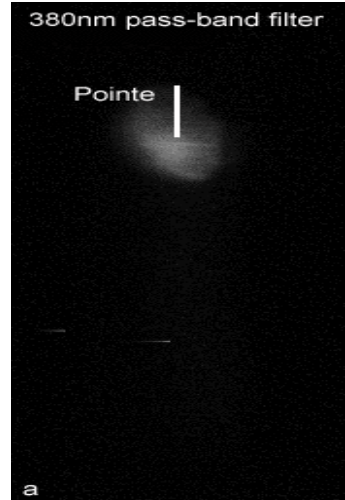
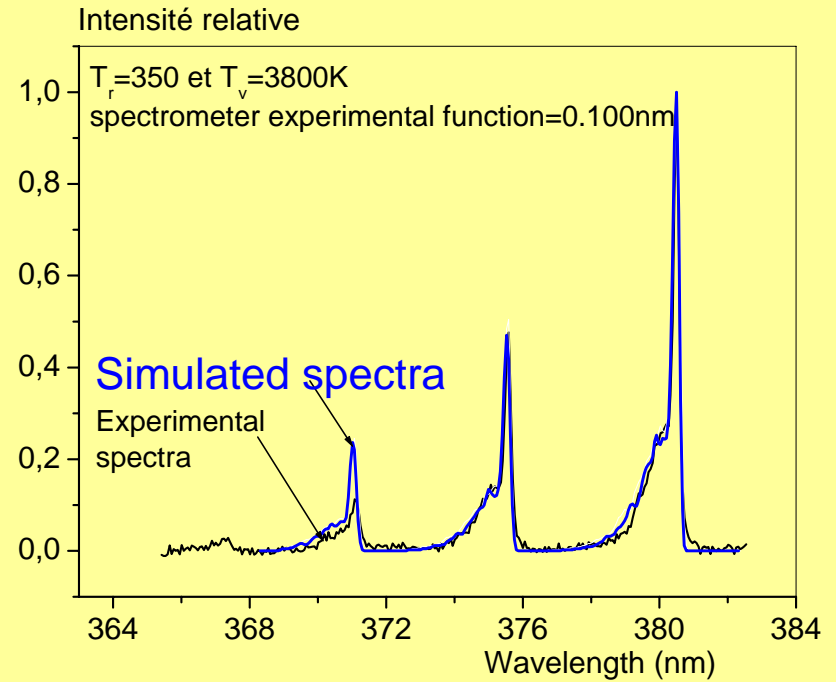
Streamers filamenteux dans l'azote liquide

Propagation

$$T_v = 3800 \text{ K}$$

$$T_{\text{rotational}} = 350 \text{ K}$$

Région périphérique $T_k \sim 350 \text{ K}$



Streamers filamentaires dans l'azote liquide

Propagation

Stark

VderW

~~Res~~

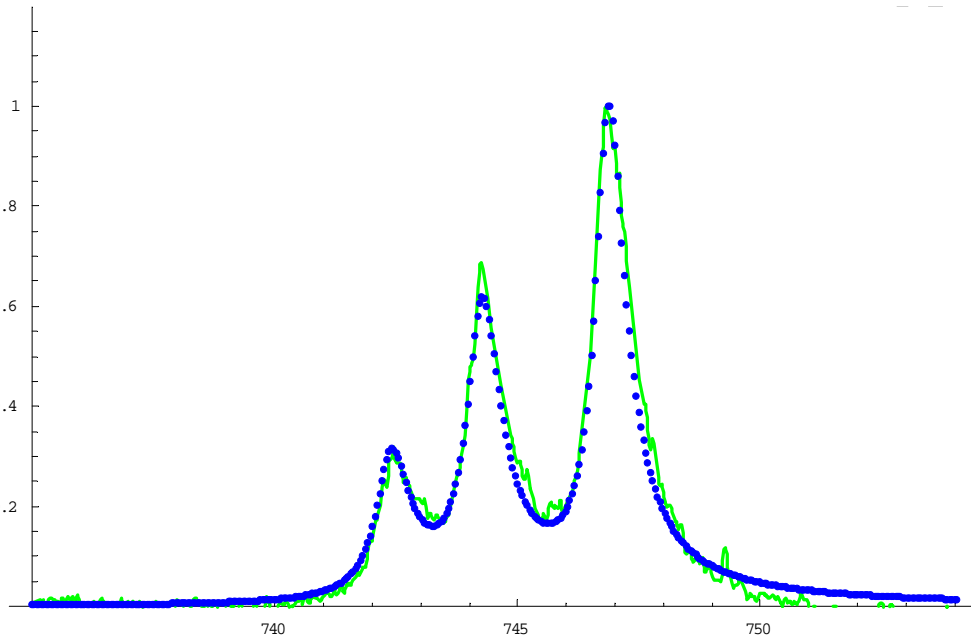
Ne

N_{N_2}

$\nu \neq, \Delta\lambda(\text{res}) \neq$

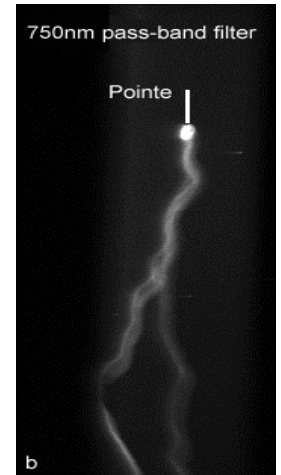
Ne impact
QS

$$P_T = \int_{-\infty}^{+\infty} P(\Delta\lambda - \zeta) P_2(\zeta) d\zeta$$



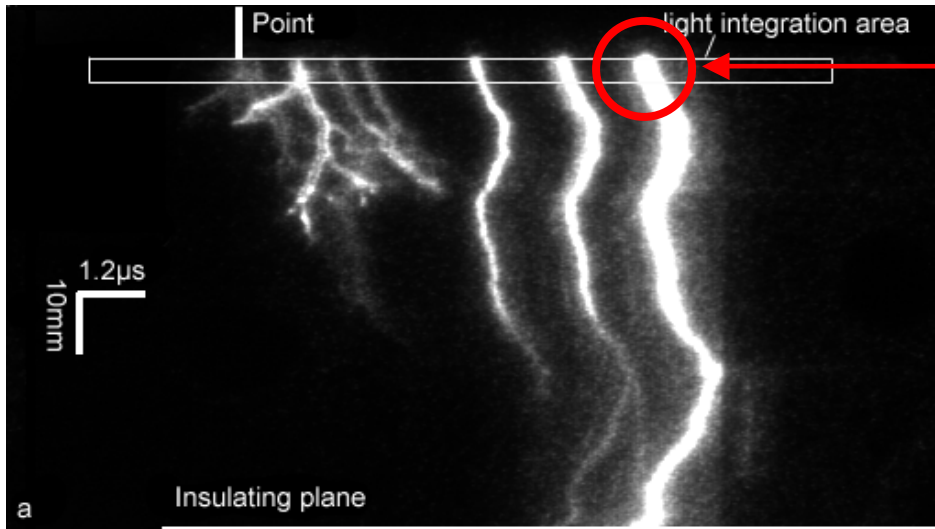
$N_e \sim 3 \cdot 10^{23} \text{ m}^{-3}$

$N_{N_2} \sim 3 \cdot 10^{26} \text{ m}^{-3}$



Streamers filamentaires dans l'azote liquide

Final Jump



N I

($3s^4P-3p^4S^0$ and $3s^4P-3p^4P$ transition)

Absence d'émission N_2

$T=0$ $T_{breakdown}$ temps

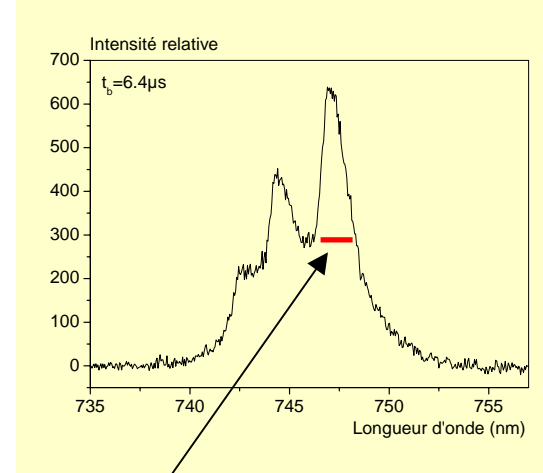
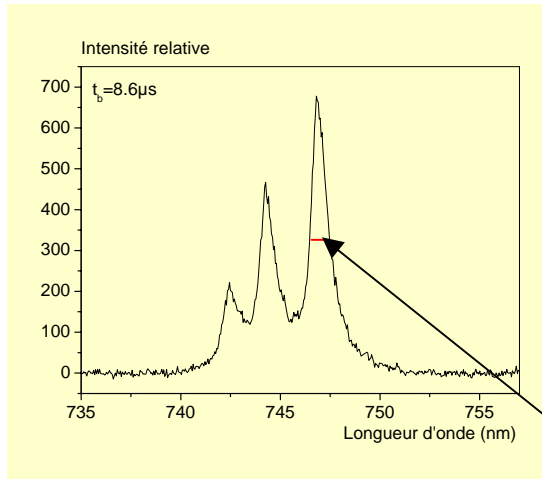
$2-9\mu s$

Streamers filamenteux dans l'azote liquide

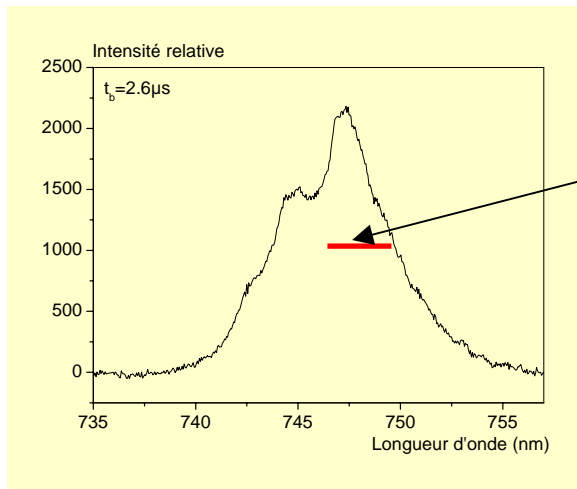
$T_{\text{breakdown}} = 8.6 \mu\text{s}$

Final jump

$T_{\text{breakdown}} = 6.4 \mu\text{s}$



$T_{\text{breakdown}} = 2.6 \mu\text{s}$



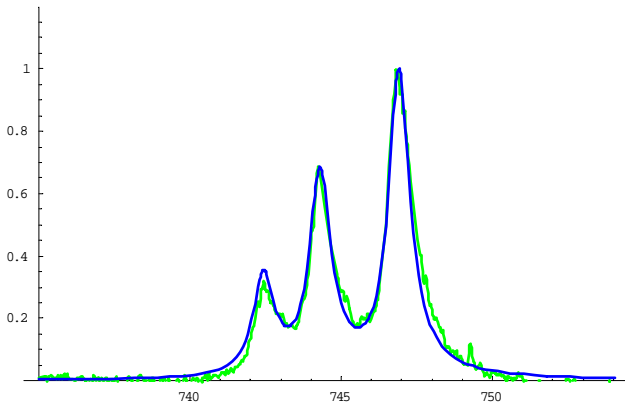
Élargissement de la raie atomique NI

Streamers filamenteux dans l'azote liquide

Final jump

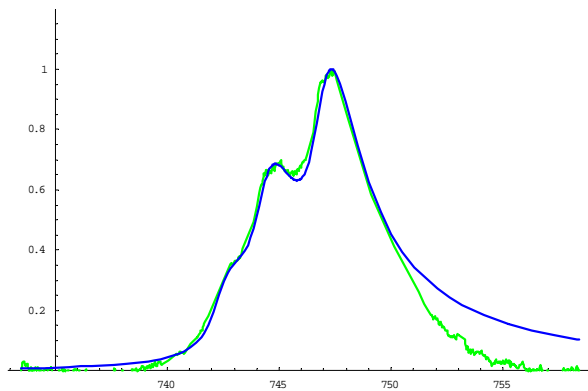
Absence d'émission N_2

$T_{\text{breakdown}} = 8.6 \mu\text{s}$



$$N_e \sim 0.6 \cdot 10^{24} \text{ m}^{-3}$$
$$N_{N_2} \sim 1 \cdot 10^{26} \text{ m}^{-3}$$

$T_{\text{breakdown}} = 2.6 \mu\text{s}$



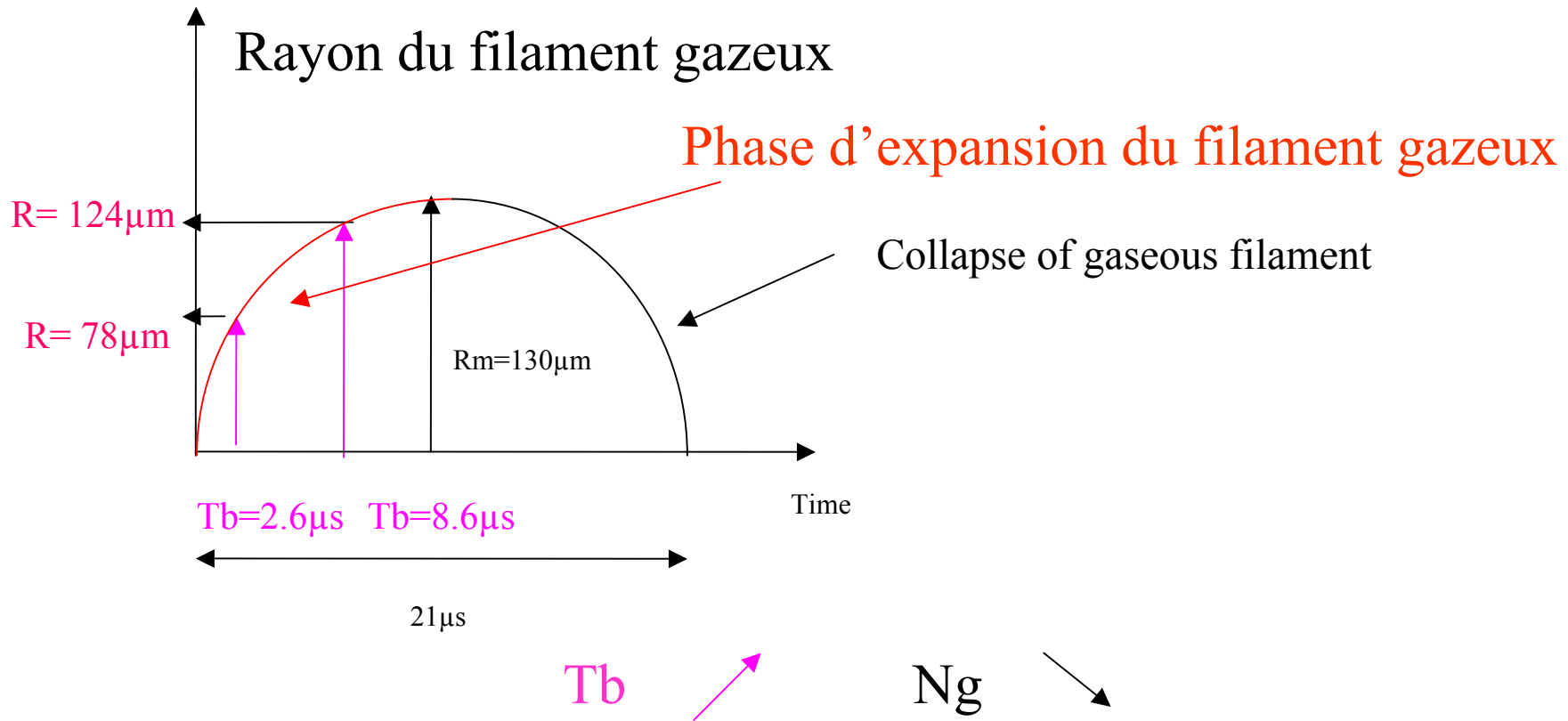
$$N_e \sim 1 \cdot 10^{24} \text{ m}^{-3}$$
$$N_{N_2} \sim 7 \cdot 10^{26} \text{ m}^{-3}$$

Streamers filamenteux dans l'azote liquide

Final jump

$$Ng(2.6\mu s) > Ng(8.6\mu s) ?$$

P Gournay and O Lesaint 1994 $\longrightarrow R_m, \tau$



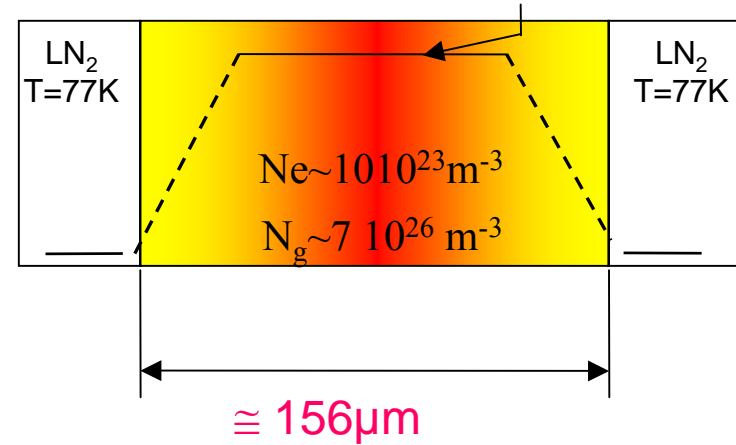
Schematic representation of gaseous structure

$$T_k \sim 3000k$$

$$P = N_g k T$$

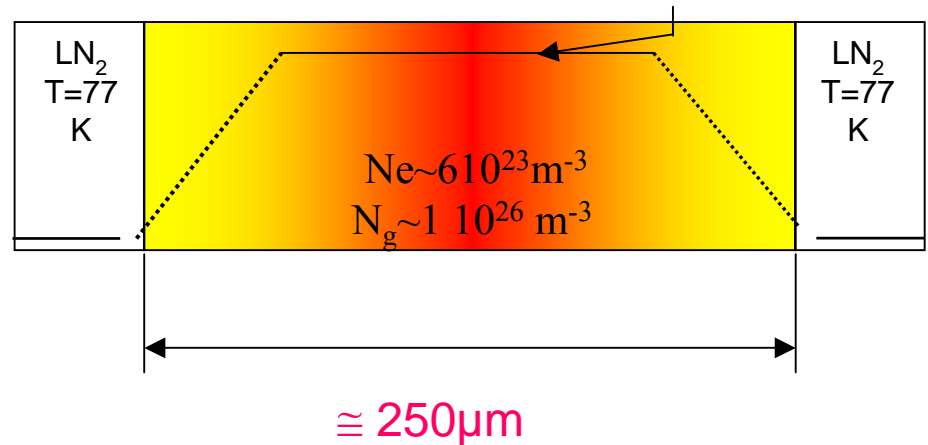
$$T_{\text{breakdown}} = 2.6 \mu s$$

Pressure of the gas ~ 300 B

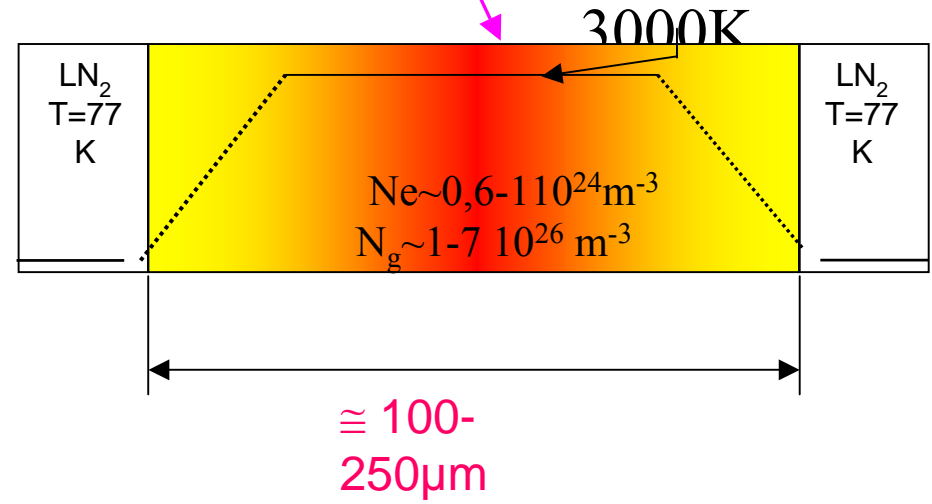
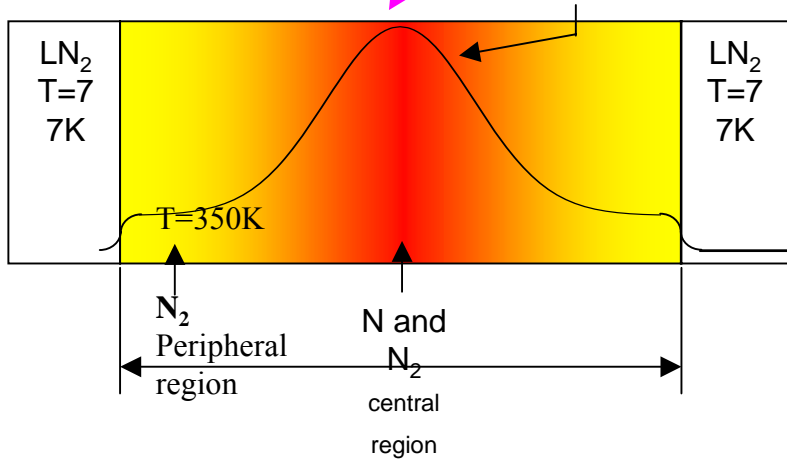
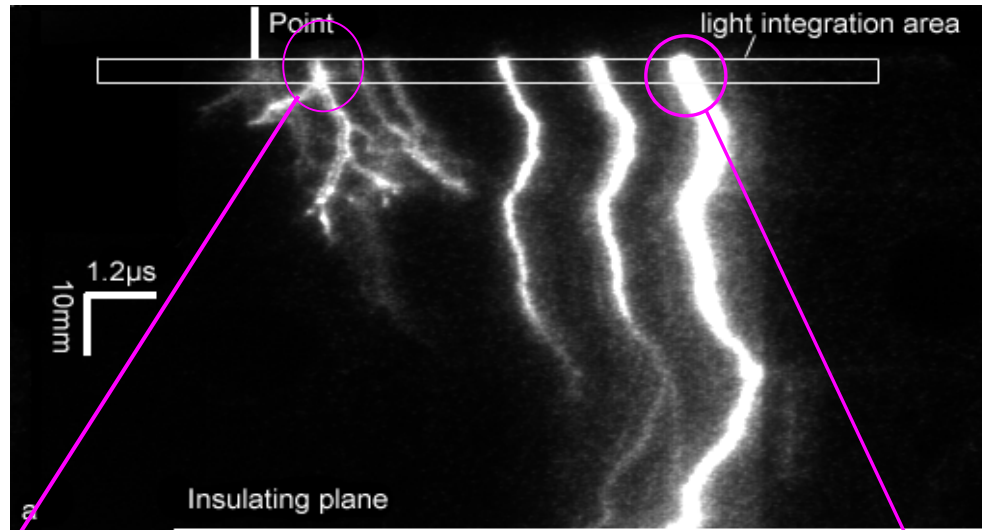


$$T_{\text{breakdown}} = 8.6 \mu s$$

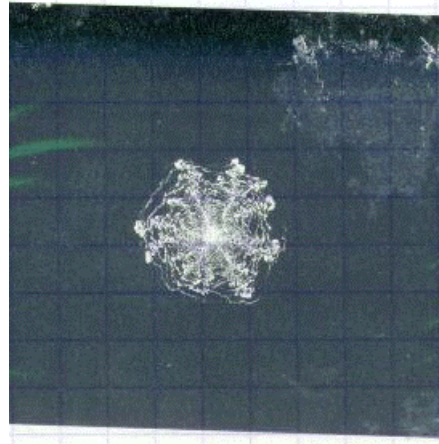
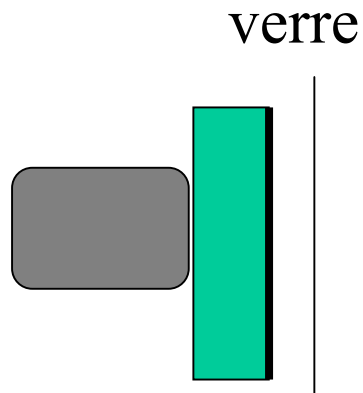
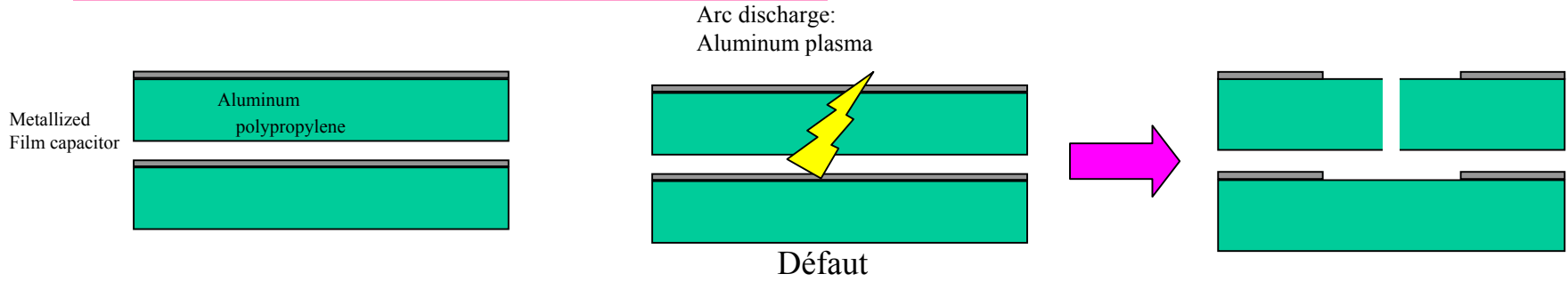
Pressure of the gas ~ 40 B



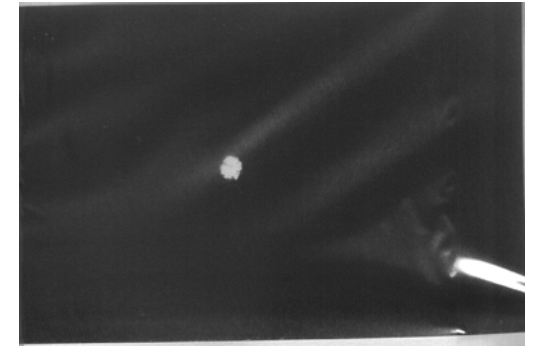
Streamers filamentaires dans l'azote liquide



Autocicatrisation Film de polypropylene métallisé

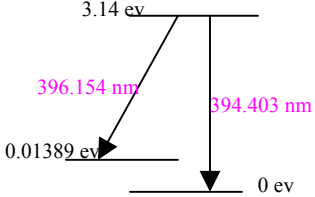


Décharge non confinée

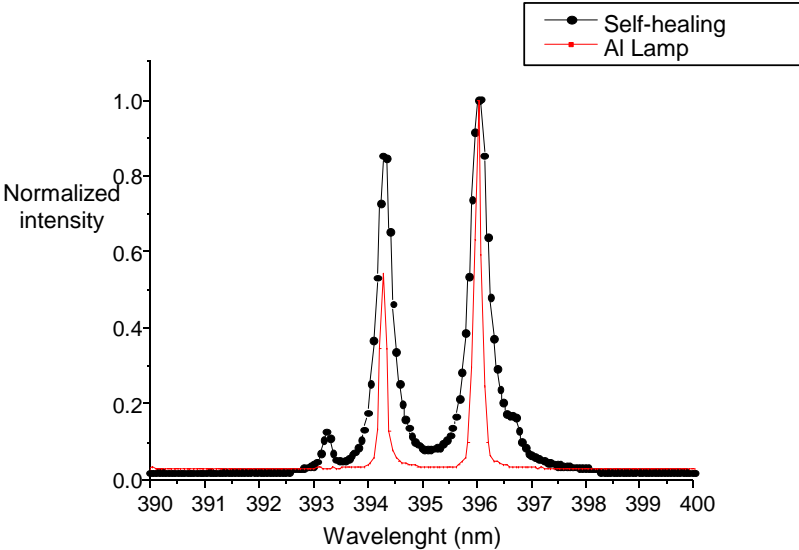


Décharge confinée

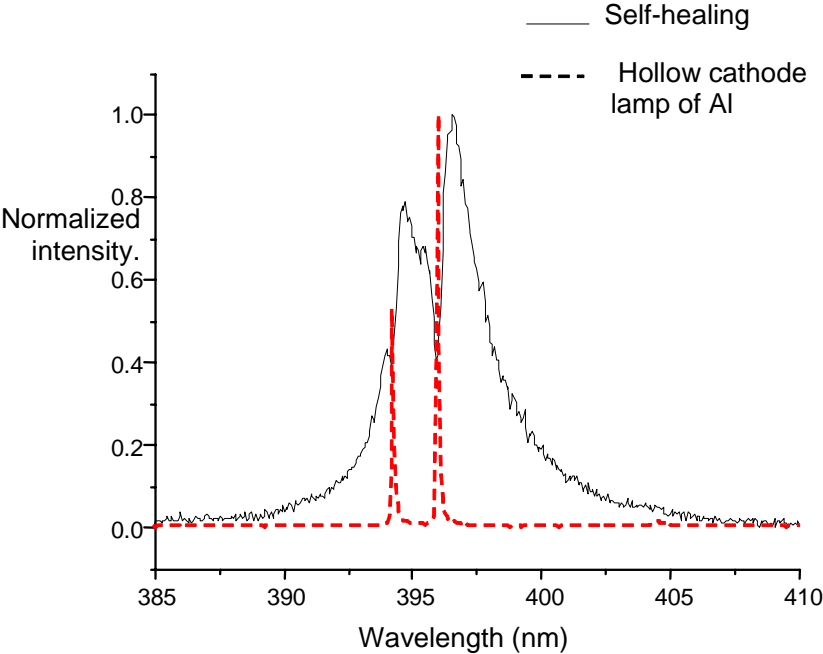
Autocicatrisation Film de polypropylene métallisé



Raies Al autoabsorbées

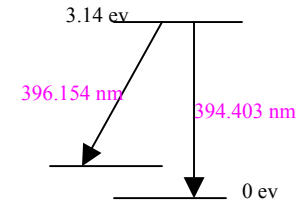


Décharge non confinée

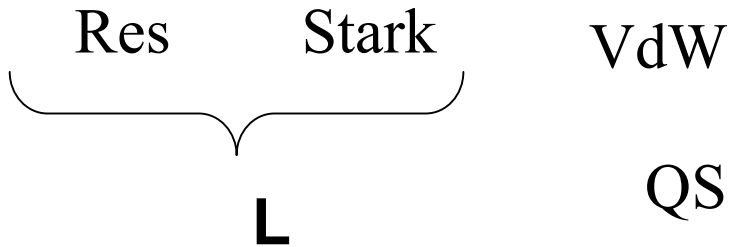


Décharge confinée

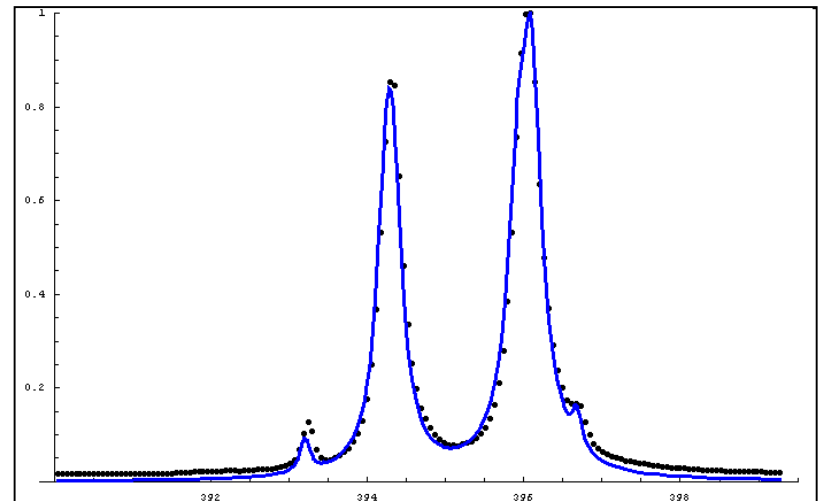
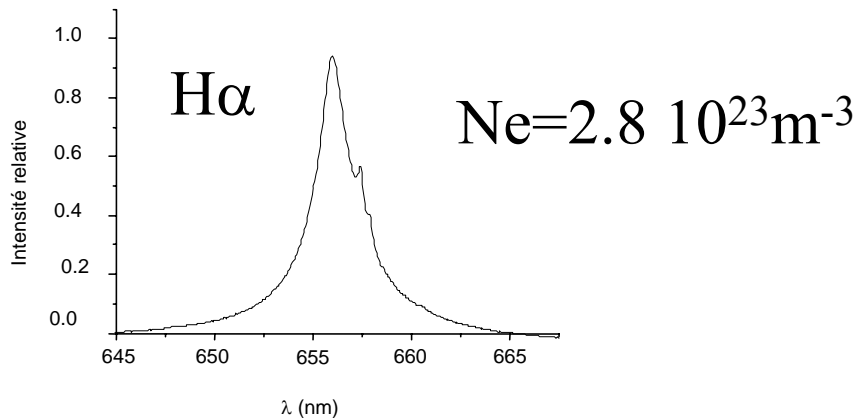
Autocicatrisation Film de polypropylene métallisé



Décharge non confinée



$$P_T = \int_{-\infty}^{+\infty} P_1(\Delta\lambda - \zeta) P_2(\zeta) d\zeta$$



Autocicatrisation
Film de polypropylene métallisé

Décharge confinée

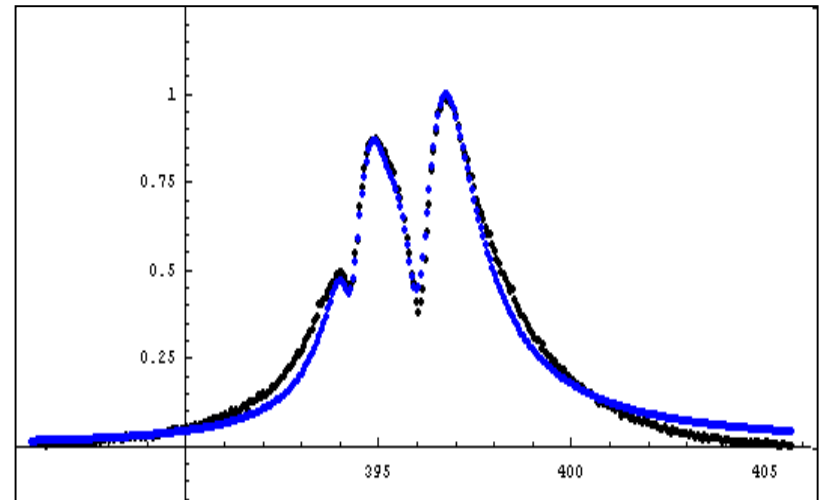
Res Stark VdW

$$P_T = \int_{-\infty}^{+\infty} P_1(\Delta\lambda - \zeta) P_2(\zeta) d\zeta$$

~~H α~~

Equilibre
thermodynamique local

Loi de Saha Ne



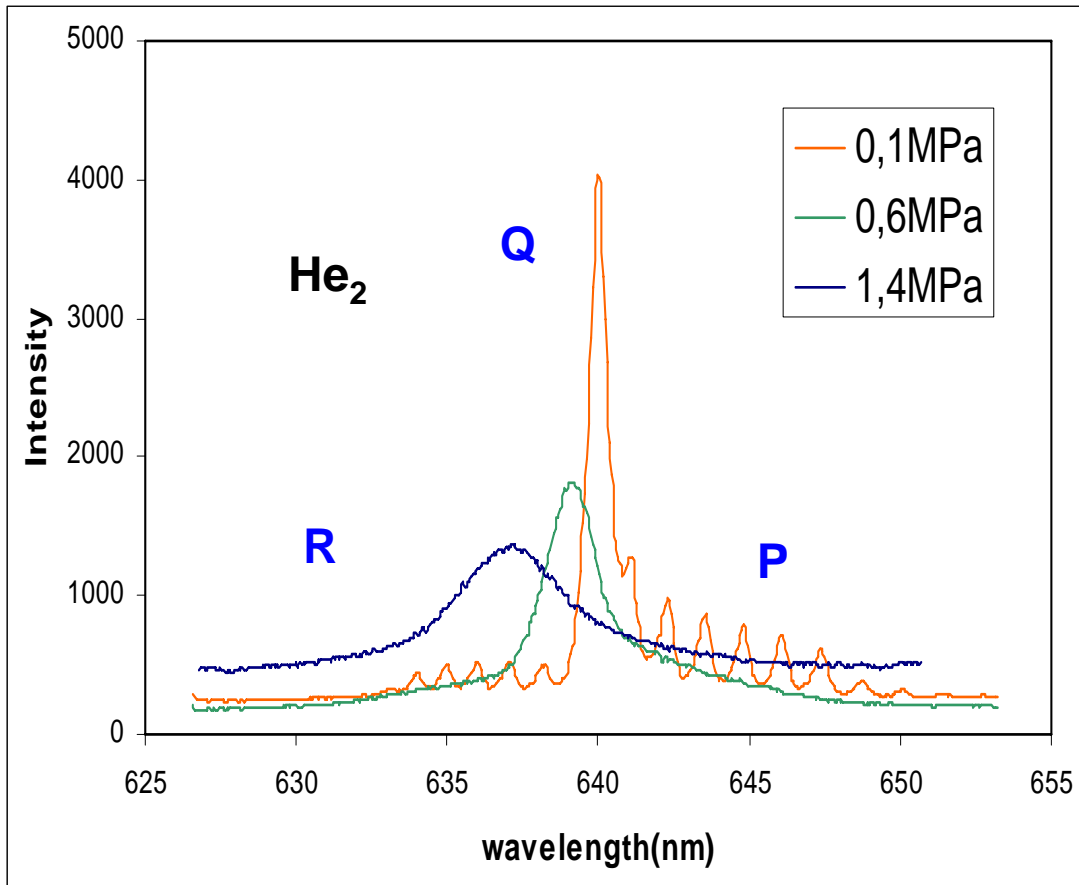
$$T(z) = (T_{\max} - T_{\text{wall}}) \cos[(z - l_{\text{opt}}/2)(\pi/l_{\text{opt}})] + T_{\text{wall}}$$

	<i>Décharges non confinées</i>		<i>Décharges confinées</i>	
	<i>Nos résultats</i>	<i>Klein</i>	<i>Nos résultats</i>	<i>Thermodynamic Model 2,3</i>
<i>T (K)</i>	<i>7200</i>	<i>4000-4500</i>	<i>6500-7000</i>	<i>3500</i>
<i>P (MPa)</i>	<i>0.1</i>			<i>10-30</i>
<i>N_g (m⁻³)</i>	<i>1x10²⁴</i>		<i>0.8-1.1x10²⁶</i>	<i>(2.1-6.3x10²⁶)^a</i>
<i>N_e (m⁻³)</i>	<i>2.8x10²³</i> <i>(deduit de H_α)</i>		<i>2-2.8x10²⁴</i> <i>Valeur pour T=T_{max}</i>	
<i>l_{opt} (μm)</i>	<i>15</i>		<i>0.5-1</i>	

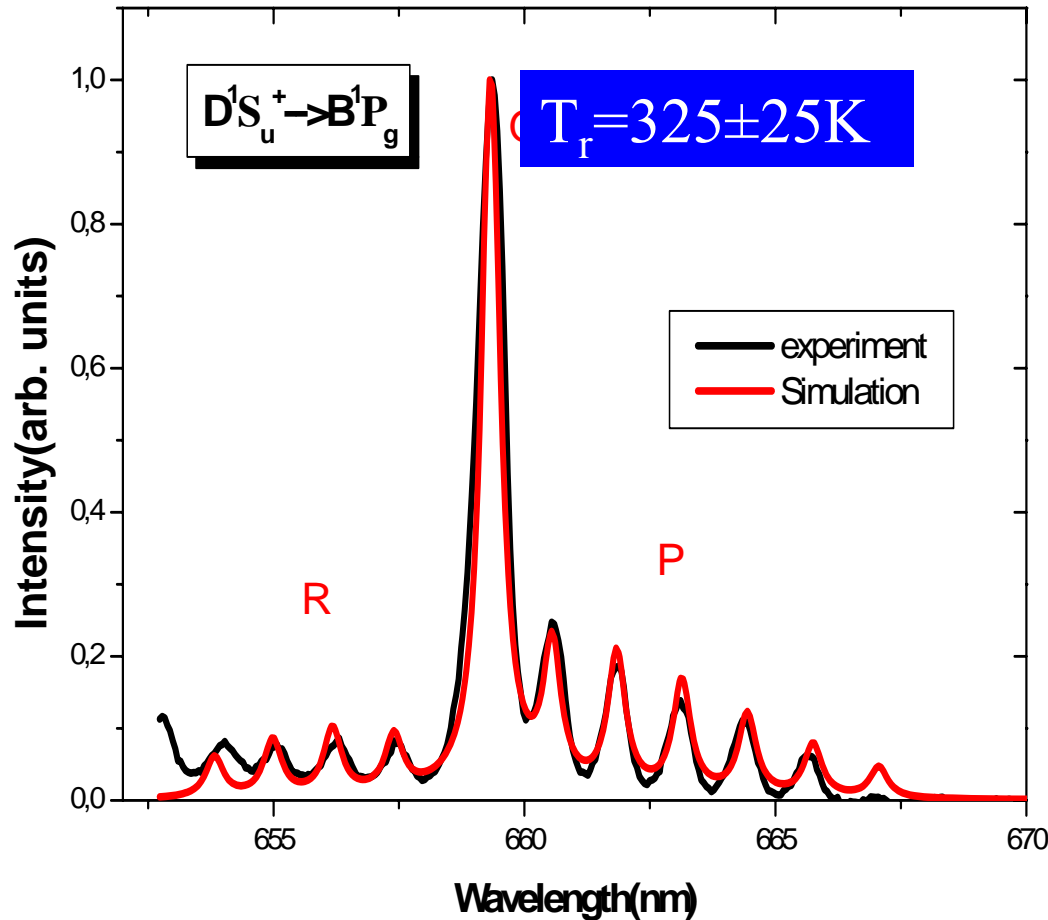
Applications en cours

Décharge couronne dans l'hélium liquide

Effet de la pression



Décharge couronne dans l'hélium liquide

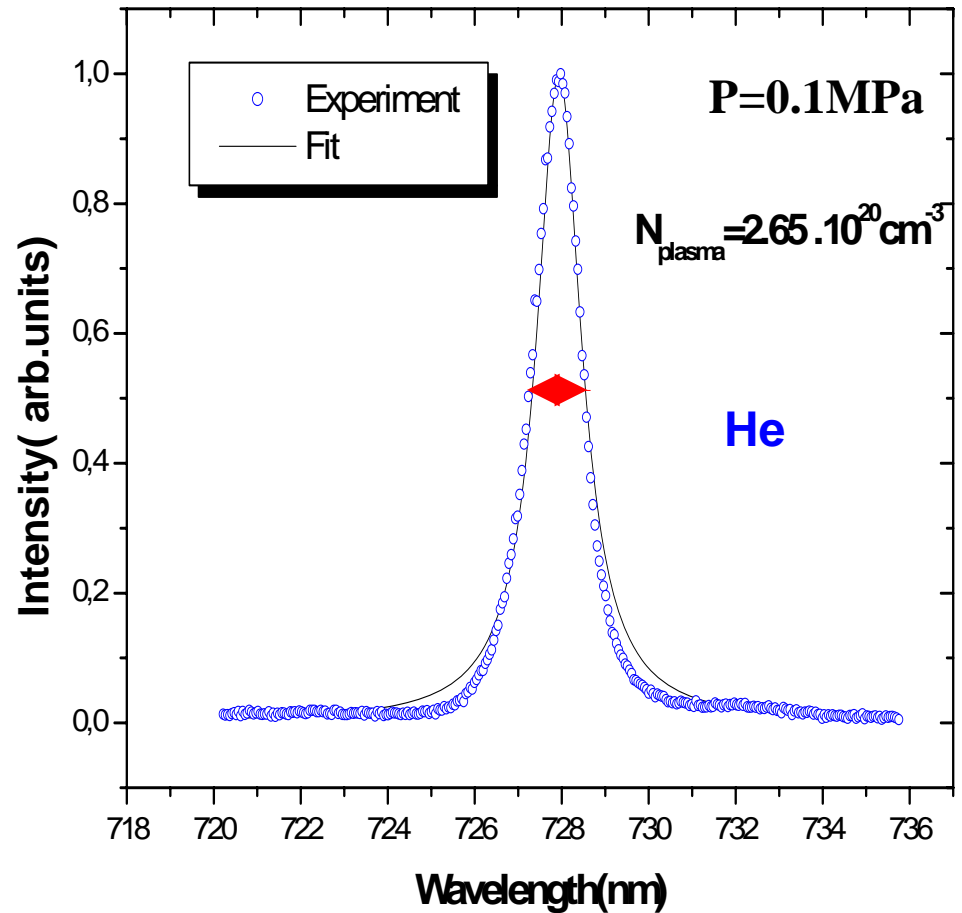


Molecular band
 $D^1\Sigma_u^+ \rightarrow B^1\Pi_g$, 660nm

Décharge couronne dans l'hélium liquide

$$\Delta\lambda \propto N_{\text{plasma}}$$

☞ $N_{\text{plasma}} \approx 3 \cdot 10^{20} \text{cm}^{-3}$



Déplacement/élargissement

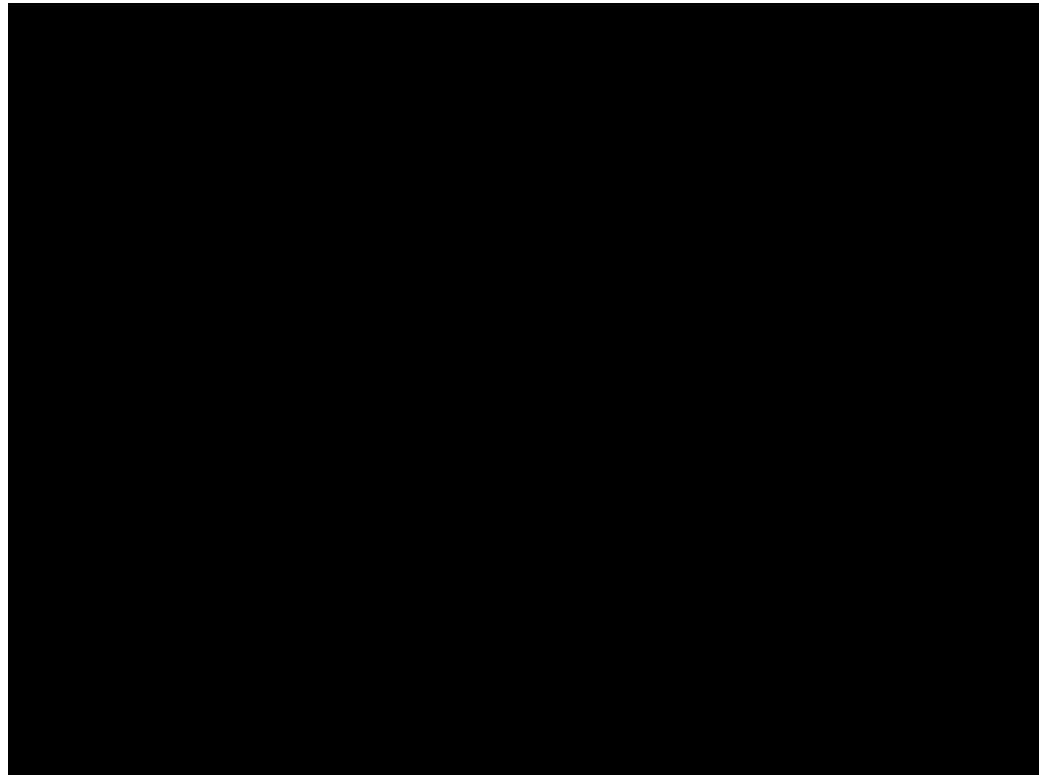
- $V(R) = \pm C_3/r^3$
- $V(R) = C_6/r^6, C_{12}/r^{12} - C_6/r^6$
- Potentiels Moléculaires adiabatiques

Streamer dans l'eau

Traitement de l'eau

Pesticides, phénols

OH, H₂O



Conclusion

La spectroscopie d'émission un outil de diagnostic des plus prometteurs des décharges électriques en milieu dense et trop peu utilisé.

Interprétation

Les milieux organiques formés de molécules polyatomiques



dissociation, fragmentation, recombinaison...



Ne, N, T ?

Champ de charge d'espace, Champ macroscopique

Ne , E_{ce}